

водников, по-видимому, не лишены смысла. Особенно это относится к теллуриду кадмия, связи в решетке которого характеризуются высокой степенью ионности (до 67.5 %) [14].

С п и с о к л и т е р а т у р ы

- [1] Alexander H., Haasen P. // Sol. St. Physics. N. Y. and London. 1968. V. 22. P. 27—158.
- [2] Никитенко В. И. Динамика дислокаций. Киев, 1975. С. 7—26.
- [3] Maeda K., Nakagawa K., Takeuchi S. // Phys. St. Sol. (a). 1978. V. 48. N 2. P. 587—591.
- [4] Gutmanas E. Yu., Haasen P. // Phys. St. Sol. (a). 1981. V. 63. N 1. P. 193—202.
- [5] Лубенец С. В., Фоменко Л. С. // ФТТ. 1989. Т. 31. № 2. С. 145—150.
- [6] Inoue M., Tegamoto I., Takayanagi S. // J. Appl. Phys. 1962. V. 33. N 8. P. 2578—2582.
- [7] Ивденбаум Г. В., Бароненкова Р. П., Бойных Н. М. // Физ. и хим. обраб. материалов. 1971. № 2. С. 91—96.
- [8] Braun C., Helberg H. W., George A. // Phil. Mag. A. 1986. V. 53. N 2. P. 277—284.
- [9] Nakagawa K., Maeda K., Takeuchi S. // Appl. Phys. Lett. 1979. V. 34. N 9. P. 574—575.
- [10] Gridneva I. V., Milman Yu. V., Trefilov V. I., Chugunova S. I. // Phys. St. Sol. (a). 1979. V. 54. N 1. P. 195—206.
- [11] Лубенец С. В. Физические процессы пластической деформации при низких температурах. Киев, 1974. С. 220—252.
- [12] Gilman J. J., Johnston W. G. // Sol. St. Physics. N. Y. and London. 1962. V. 13. P. 147—222.
- [13] Lee F. M., Shyne J. C., Nix W. D. // Mater. Sci. Engng. 1969/70. V. 5. P. 179—192.
- [14] Phillips J. C. // Rev. Mod. Phys. 1970. V. 42. N 3. P. 317—356.

Физико-технический институт
низких температур АН УССР
Харьков

Поступило в Редакцию
27 января 1989 г.

УДК 537.638 : 546.664

Физика твердого тела, том 31, в. 7, 1989
Solid State Physics, vol. 31, № 7, 1989

МАГНИТОКАЛОРИЧЕСКИЙ ЭФФЕКТ И ОБЪЕМНАЯ МАГНИТОСТРИКЦИЯ СОЕДИНЕНИЯ Gd_3Al_2

C. A. Никитин, Ю. И. Спичкин, А. М. Тишин

В настоящее время накоплено большое количество данных о магнитных свойствах интерметаллических соединений. Однако магнитотепловые и магнитообъемные эффекты в интерметаллических соединениях практически не изучены. В данной работе проведены измерения магнитокалорического эффекта (МКЭ) и исследовано влияние давления на намагниченность соединения Gd_3Al_2 . Поликристаллический образец Gd_3Al_2 был приготовлен в электродуговой печи на медном водоохлаждаемом поду в атмосфере аргона. Гомогенизирующий отжиг проводился при температуре 700 °C в течение 50 ч. Методика измерения МКЭ и намагниченности подробно изложена в работах [1, 2].

Соединение Gd_3Al_2 имеет тетрагональную структуру типа Zr_3Al_2 [3] и является типичным ферромагнетиком с парамагнитной температурой Кюри, почти равной точке Кюри T_c [4]. Парамагнитная восприимчивость соединения следует закону Кюри—Вейса, а эффективный магнитный момент редкоземельного атома близок к моменту свободного иона Gd^{3+} [4].

Максимум МКЭ наблюдается вблизи температуры Кюри (рис. 1, 1, 2). При увеличении поля температура максимума МКЭ смещается в сторону низких температур. В поле 55 кЭ максимальная величина МКЭ составляет

$\Delta T_{\max} = 4.6$ К при $T = 273$ К. Зависимость удельной намагниченности $\sigma(T)$ соединения Gd_3Al_2 является характерной для ферромагнетика (рис. 1, 3). Температура Кюри, определенная нами термодинамическим методом [5], оказалась равной 279.2 ± 0.1 К при атмосферном давлении и 281.8 ± 0.1 при давлении 10^{10} дин/см².

Из данных по влиянию давления на намагниченность были рассчитаны температурные и полевые зависимости производной удельной намагниченности по давлению $d\sigma/dp$ (рис. 1, 5, 6). Вблизи температуры Кюри на полевых зависимостях $d\sigma/dp$ наблюдается максимум в области слабых магнитных полей, после которого происходит монотонное уменьшение величины эффекта при увеличении поля. В поле 1 кЭ величина $d\sigma/dp$ имеет резкий максимум вблизи температуры Кюри. Из рис. 1, 6 видно, что при увеличении поля знак $d\sigma/dp$ изменяется на противоположный.

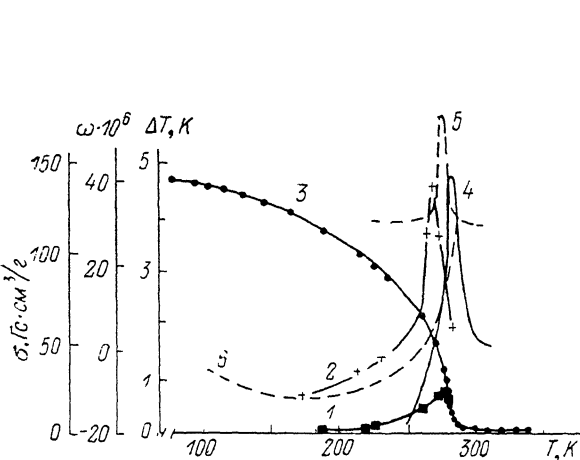


Рис. 1. Температурные зависимости магнитокалорического эффекта ΔT (1, 2), намагниченности (3), объемной магнитострикции (4) и производной удельной намагниченности по давлению $d\sigma/dp$ (5, 6) соединения Gd_3Al_2 .
Н, кЭ: 1 — 10; 2 — 55; 3, 4, 6 — 13; 5 — 1.

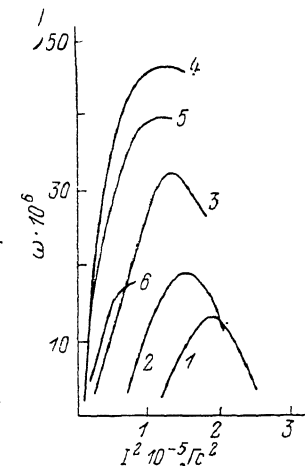


Рис. 2. Зависимость объемной магнитострикции ω от квадрата намагниченности I^2 в Gd_3Al_2 .
 T , К: 1 — 270, 2 — 275, 3 — 279, 4 — 282, 5 — 285, 6 — 290.

Из данных по влиянию давления на намагниченность проведены вычисления объемной магнитострикции ω . В расчетах использовалось известное термодинамическое соотношение [6]

$$\omega(H) = - \int_0^H \frac{\partial I}{\partial p} dH, \quad (1)$$

где I — намагниченность. На кривой температурной зависимости объемной магнитострикции наблюдается положительный максимум вблизи температуры Кюри (рис. 1, 4). Зависимость ω от квадрата намагниченности вблизи точки Кюри характеризуется возрастанием ω при увеличении I^2 и последующим уменьшением ее величины при дальнейшем росте I^2 (рис. 2). При $T=279$ К $d\omega/dH > 0$ при $H \leqslant 9$ кЭ и $d\omega/dH < 0$ при $H > 9$ кЭ, т. е. вблизи температуры Кюри знак $d\omega/dH$ изменяется с положительного на отрицательный при увеличении поля. Согласно термодинамическим соотношениям, отрицательному значению $d\omega/dH$ в сильных магнитных полях должен соответствовать положительный знак производной dT_C/dp , что согласуется с нашими экспериментальными данными для Gd_3Al_2 , согласно которым $dT_C/dp = 26 \cdot 10^{-11}$ К·см²/дин.

Представляло интерес сравнить значения интеграла косвенного обмена $A_{\text{косв}}$ и его производной от атомного объема $\partial A_{\text{косв}}/\partial \ln V_0$ для Gd_3Al_2 и для Gd [7], который обладает близкой к Gd_3Al_2 точкой Кюри $T_C=293$ К.

Эти величины могут быть рассчитаны по формулам теории косвенного обмена [8]:

$$A_{\text{косв}} = \frac{3}{2} \frac{\Theta_p}{G}, \quad \frac{\partial A_{\text{косв}}}{\partial \ln V_0} = \frac{3}{2} \frac{dT_c}{dp} \frac{1}{\chi G}, \quad (2)$$

где $\bar{G}=3/5 G_{\text{Gd}}$ — среднее значение фактора де Жена для соединения; G_{Gd} — фактор де Жена для Gd, который полагался равным 15.75; χ — объемная сжимаемость; Θ_p — парамагнитная температура Кюри. Объемные сжимаемости Gd и Gd_3Al_2 принимались равными $-2.5 \cdot 10^{-12}$ и $-1.4 \times 10^{-12} \text{ см}^2/\text{дин}$ [9] соответственно. Парамагнитная температура Кюри Gd полагалась равной 316 К, в Gd_3Al_2 , $\Theta_p=285$ К [4]. Результаты расчета $A_{\text{косв}}$ и $A_{\text{косв}}/\partial \ln V_0$ для Gd и соединения Gd_3Al_2 представлены в таблице. Близи точки Кюри в области парапроцесса зависимость $\Delta T (I^2)$ является линейной [5], причем тангенс угла наклона кривой $\Delta T (I^2)$ в точке Кюри пропорционален обменному параметру. Полученное из экспериментальных данных отношение величины МКЭ ΔT к квадрату намагниченности I^2 в точке Кюри приведено в таблице. Сопоставление этих величин для Gd и Gd_3Al_2 а также значений $A_{\text{косв}}$, найденных по формуле (2), приводят к выводу, что значения обменных параметров отличаются незначительно.

Различие между Gd и Gd_3Al_2 , содержащих магнитоактивные атомы одного сорта, заключается в том, что в Gd_3Al_2 расстояние между ионами Gd значительно больше из-за разбавления ионами «немагнитного» Al. По всей видимости, это обстоятельство приводит к тому, что значения $A_{\text{косв}}$ и $\partial \ln V_0$ Gd и Gd_3Al_2 отличаются по величине и знаку (см. таблицу).

Значения фактора де Жена G , отношения величины магнитокалорического эффекта ΔT к квадрату намагниченности I^2 , сдвиг температуры Кюри под действием давления dT_c/dp , интеграл косвенного обмена $A_{\text{косв}}$ и производная интеграла косвенного обмена по атомному объему $\partial A_{\text{косв}}/\partial \ln V_0$ для Gd и соединения Gd_3Al_2

Материал	G	$\Delta T/I^2, \text{ К}/\text{л}^2\text{с}^2$ при T_c	$\frac{dT_c}{dp}, \text{ К}/\text{см}^2/\text{дин}$	$A_{\text{косв}}, \text{ К}$	$\frac{\partial A_{\text{косв}}}{\partial \ln V_0}, \text{ К}$
Gd_3Al_2	9.45	$(4.0 \pm 0.2) \cdot 10^{-6}$	$(26 \pm 3) \cdot 10^{-11}$	44 ± 1	-29 ± 3
Gd	15.75	$(9.6 \pm 0.5) \cdot 10^{-8}$	$(-13 \pm 2) \cdot 10^{-10}$	28 ± 1	49 ± 3

Полученное нами значение положительного смещения T_c с давлением dT_c/dp для Gd_3Al_2 коррелирует с найденным для этого соединения в работе [9] значением $dT_c/dp=36 \cdot 10^{-11} \text{ К} \cdot \text{см}^2/\text{дин}$. Бушоу [10] показал, что в Gd_3Al_2 величина плотности состояний на уровне Ферми нечувствительна к изменению концентрации электронов проводимости. Следовательно, знак и величину dT_c/dp определяет изменение интеграла $s-f$ -обмена Γ_{s-f} под действием давления. Положительный знак dT_c^*/dp в интерметаллических соединениях может быть объяснен на основе модифицированной теории [8], в которой для отражения не δ -влияния характера обмена учитывается зависимость перекрытия волновых функций s - и $4f$ -электронов от отношения расстояния между ближайшими соседями к радиусу $4f$ -орбитали [11].

Список литературы

- [1] Тишин А. М. // Автореф. канд. дис. М., МГУ, 1988. 13 с.
- [2] Леонтьев П. И. // Автореф. канд. дис. М., МГУ, 1988. 14 с.
- [3] Buschow K. H. J. // J. Less-Comm. Metals. 1965. V. 8. N 1. P. 209—212.
- [4] Barbara B., Beclé C., Lemaire R., Pathenet R. // J. Appl. Phys. 1968. V. 39. N 2. P. 1084—1085.
- [5] Белов К. П. Магнитные превращения. М.: Физматгиз, 1959. 259 с.
- [6] Белов К. П. Упругие, тепловые и электрические явления в ферромагнетиках. М.: Гостехиздат, 1957. 279 с.
- [7] Никитин С. А., Бездушный Р. В. // Тез. докл. XVII Всес. конф. по физике магнитных явлений. Донецк, 1985. С. 233—234.

- [8] de Geenes P. // J. Phys. et Rad. 1962. V. 23. N 8—9. P. 510—517.
 [9] Parviaainen S. // Phys. St. Sol. (a). 1980. V. 60. N 1. P. 13—16.
 [10] Buschow K. H. J. // J. Less-Comm. Metals. 1975. V. 43. N 1. P. 55—59.
 [11] Robinson L. B., Ferguson L. N. Jr., Milstein F. // Phys. Rev. 1971. V. B3. P. 1025—1035.

Московский государственный
университет им. М. В. Ломоносова
Москва

Поступило в Редакцию
16 августа 1988 г.
В окончательной редакции
30 января 1989 г.

УДК 539.216.2 : 546

Физика твердого тела, том 31, № 7, 1989
Solid State Physics, vol. 31, № 7, 1989

ДИФФУЗИЯ УГЛЕРОДА НА ПОВЕРХНОСТЬ ПЕРЕСЫЩЕННЫХ ТВЕРДЫХ РАСТВОРОВ

B. H. Лыняной

Распад пересыщенных твердых растворов углерода в никеле, кобальте и железе при определенных термообработках в вакууме сопровождается образованием и ростом на готовых поверхностях раздела углеродной пленки [1]. К таким поверхностям относят и границу твердый раствор—вакуум. Выделение углерода на ней связано с меньшими энергетическими затратами, чем внутри раствора.

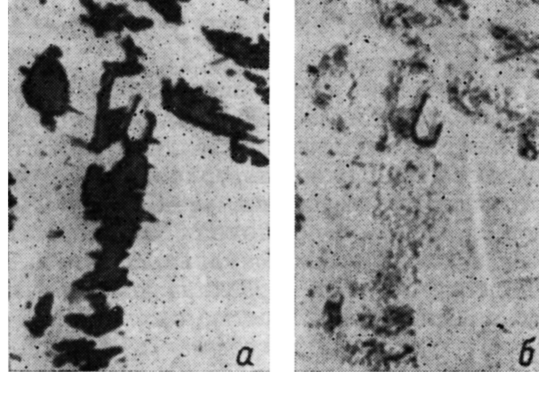


Рис. 1. Один и тот же участок поверхности Ni—C (0.3 % C) сплава с графитовыми кристалликами (а) и после их растворения (б). $\times 200$.

Механизм роста графитовой пленки обычно связывают с диффузионными потоками углерода, которые возникают в контактном приповерхностном слое пересыщенного твердого раствора [2, 3]. При этом полагают, что графитовые сетки в процессе роста располагаются параллельно поверхности раствора. В настоящем сообщении приводятся некоторые новые экспериментальные факты, которые сопровождают процесс формирования углеродной пленки.

Первая группа опытов убеждает в том, что рост графитовой пленки происходит в результате возвинковения не только диффузионных потоков углерода, но и матрицы. Об этом свидетельствует визуальное наблюдение за состоянием поверхности матрицы после растворения графитовых кристалликов. Если образцы Ni—C, Co—C или Fe—C сплавов с выделившимися на поверхности графитовыми кристалликами нагревать до области